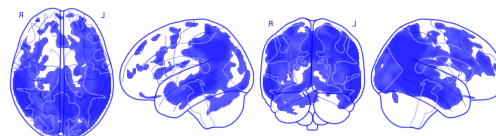




## Limitación de responsabilidad

Los resultados proporcionados por Neurocloud PET no son un informe de diagnóstico sino una herramienta de cuantificación de imagen. Qubitech Health Intelligence S.L. no acepta ninguna responsabilidad por el uso de Neurocloud PET para usos distintos a los especificados.

## Cerebro de cristal



Frontal				
ROI	Dif. Izq.	Dif. Der.	Asimetría	Déficit
Giro Frontal Superior	-3.79	1.21	-4.84	Izquierdo
Giro Frontal Medio	-13.66	-3.43	-11.29	Izquierdo
Giro Frontal Inferior (Área de Broca)	-5.44	1.96	-6.90	Izquierdo
Cíngulo Anterior, Área Subgenual	-11.73	-10.60	3.43	

Temporal				
ROI	Dif. Izq.	Dif. Der.	Asimetría	Déficit
Amígdala	-15.62	-6.10	-9.13	Izquierdo
Hipocampo	-16.53	-9.29	-6.94	Izquierdo
Parahipocampo	-7.60	-0.83	-6.48	Izquierdo
Temporal Anterior Medial	-8.07	-1.50	-6.57	
Temporal Anterior Lateral	-8.33	-1.40	-8.02	Izquierdo
Temporal Superior, Zona Anterior	-16.20	-9.97	-7.64	
Temporal Superior, Zona Posterior	-12.22	-5.11	-6.93	Izquierdo
Temporal Medio e Inferior	-26.46	-16.96	-12.26	Bilateral
Temporal Posterior	-25.31	-14.50	-13.37	Bilateral
Giro Fusiforme	-10.31	-1.14	-8.34	Izquierdo

Parietal				
ROI	Dif. Izq.	Dif. Der.	Asimetría	Déficit
Remanente Lateral Inferior del Lóbulo Parietal	-35.63	-21.28	-18.38	Bilateral
Precuneus	-28.40	-15.55	-15.10	Bilateral
Parte Posterior del Cíngulo	-25.97	-19.83	-8.12	Bilateral

Occipital				
ROI	Dif. Izq.	Dif. Der.	Asimetría	Déficit
Remanente Lateral del Lóbulo Occipital	-6.05	0.73	-6.85	Izquierdo
Giro Lingual	0.47	7.30	-7.24	Izquierdo

Estructuras internas				
ROI	Dif. Izq.	Dif. Der.	Asimetría	Déficit
Cerebelo	9.93	-0.35	9.62	Derecho

## Comentario

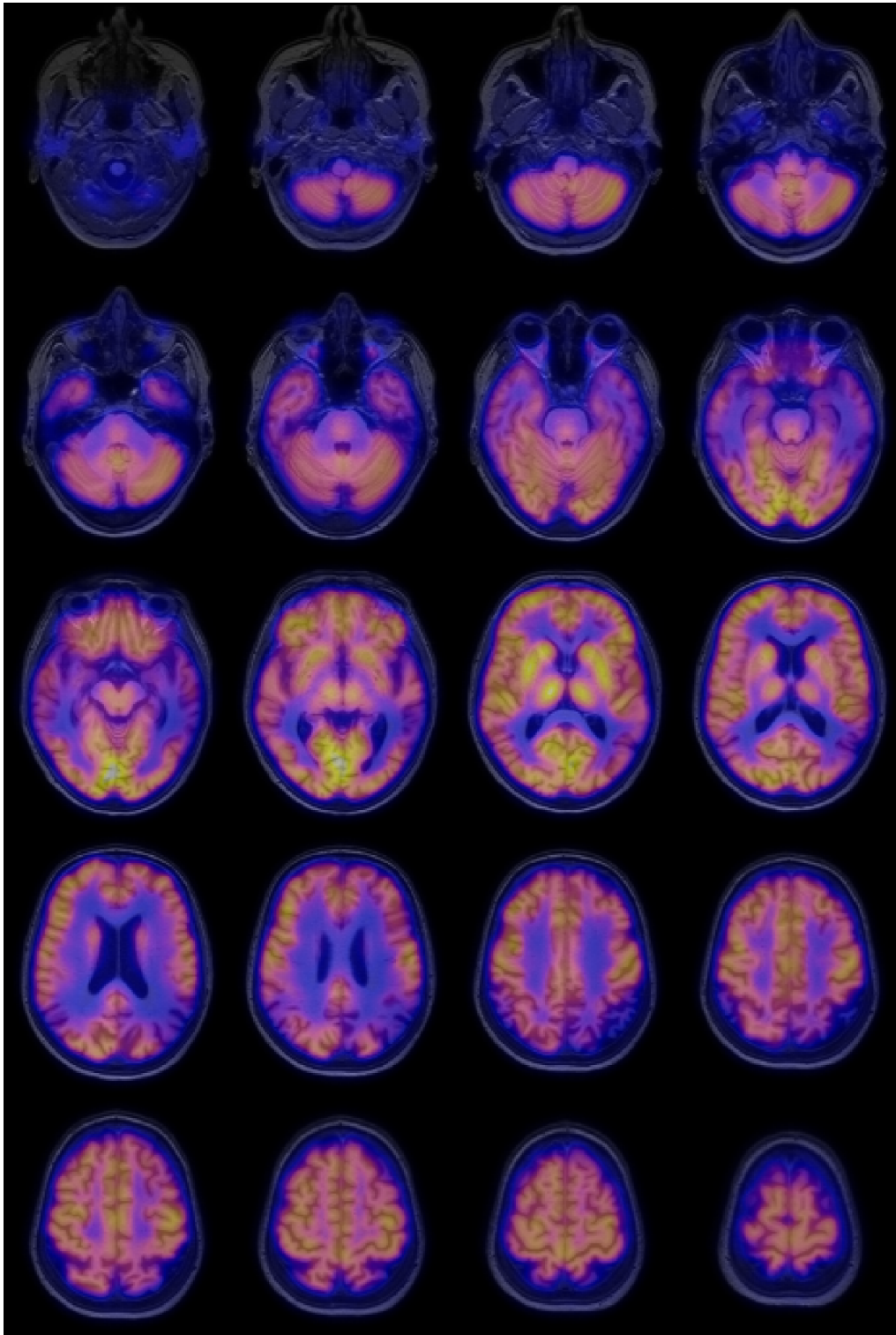
--Este es un informe completo. La información de cada informe es completamente personalizable y modular.

-- This is a full report. The information on each report is modular and fully customizable.

Desviación estándar **2 DS** **2.5 DS** **3.0 DS**

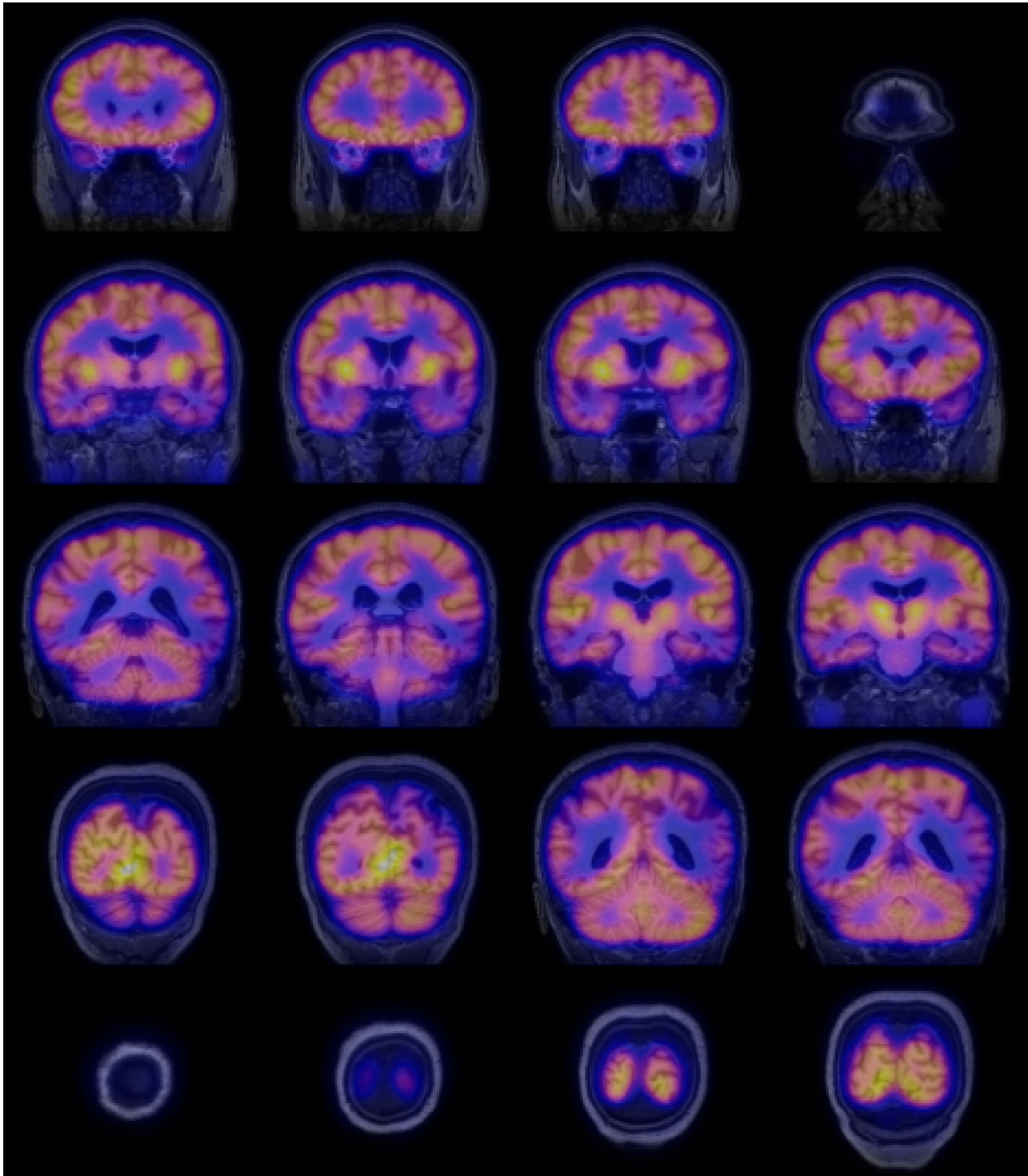


## Fusion - axial



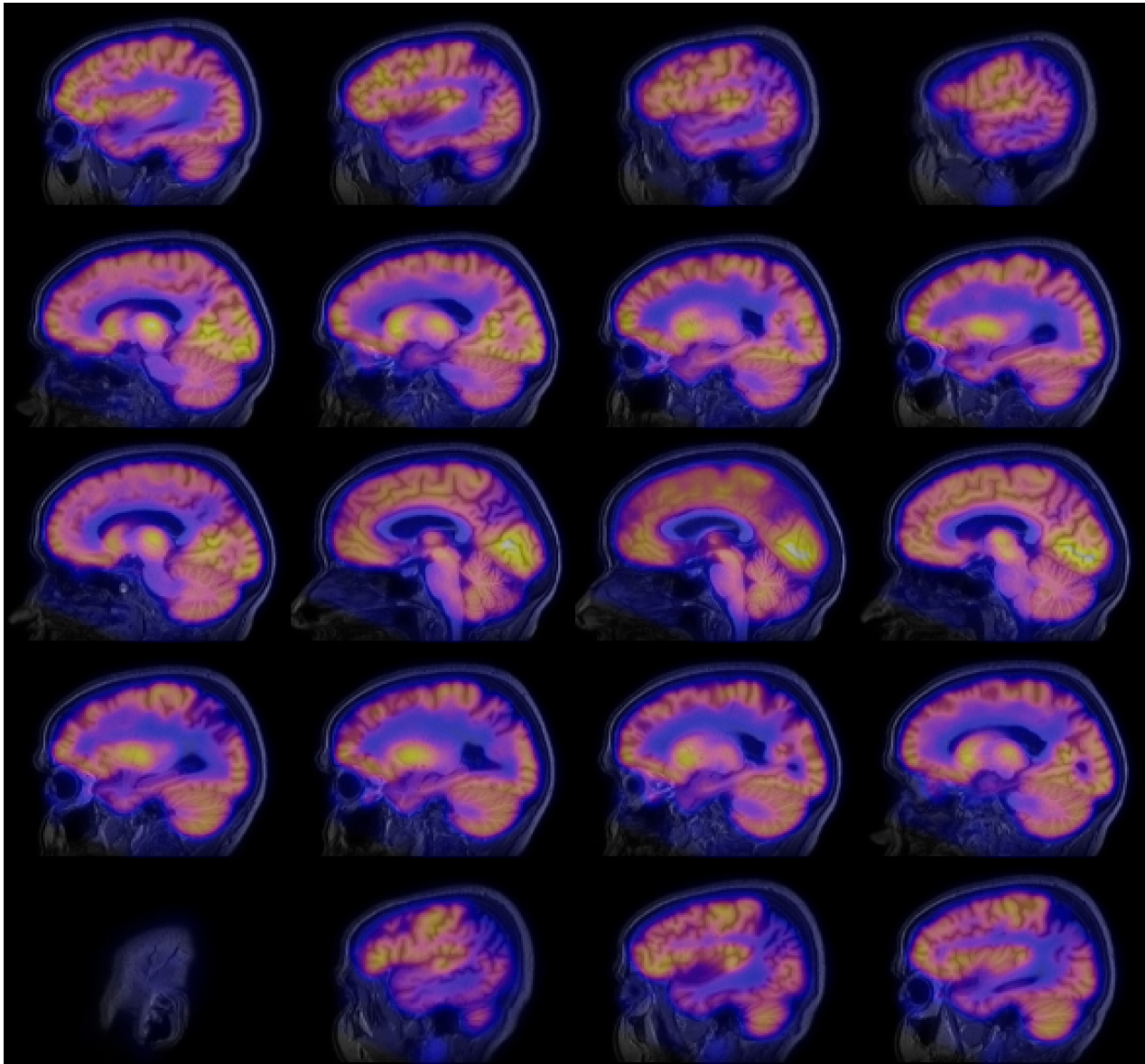


## Fusion - coronal



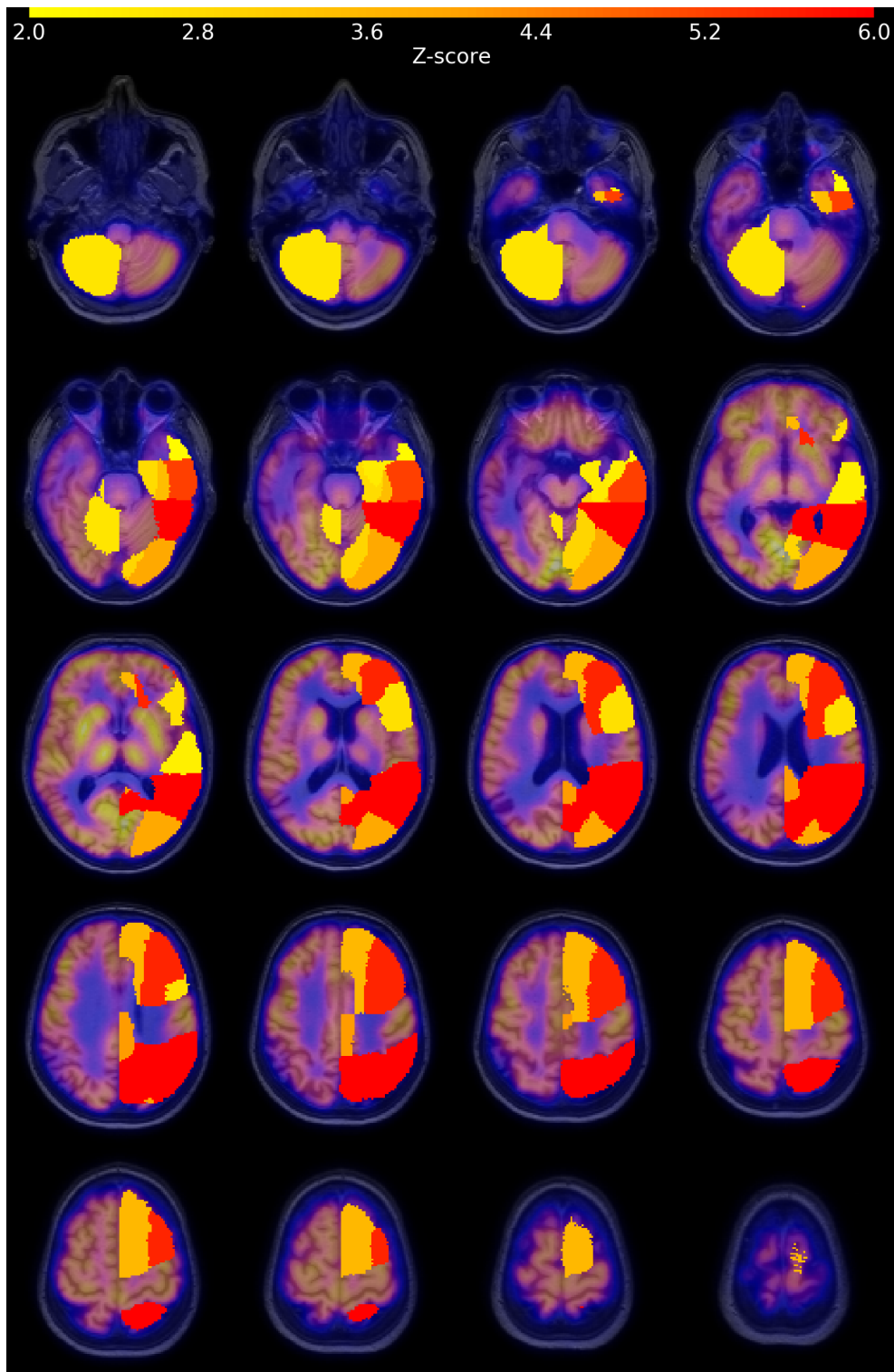


## Fusion - sagittal



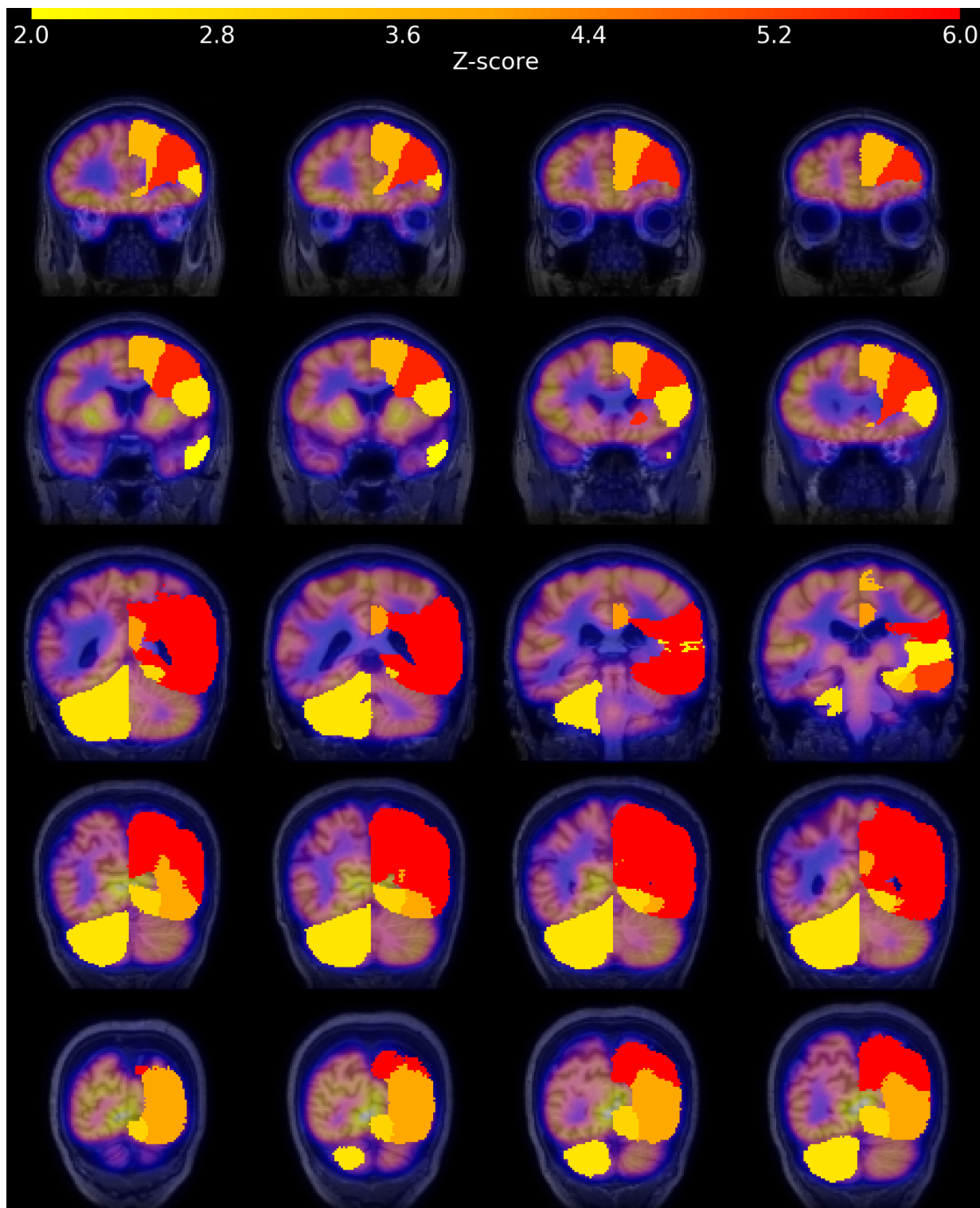


## Asimetrías (basado en ROIs) - axial



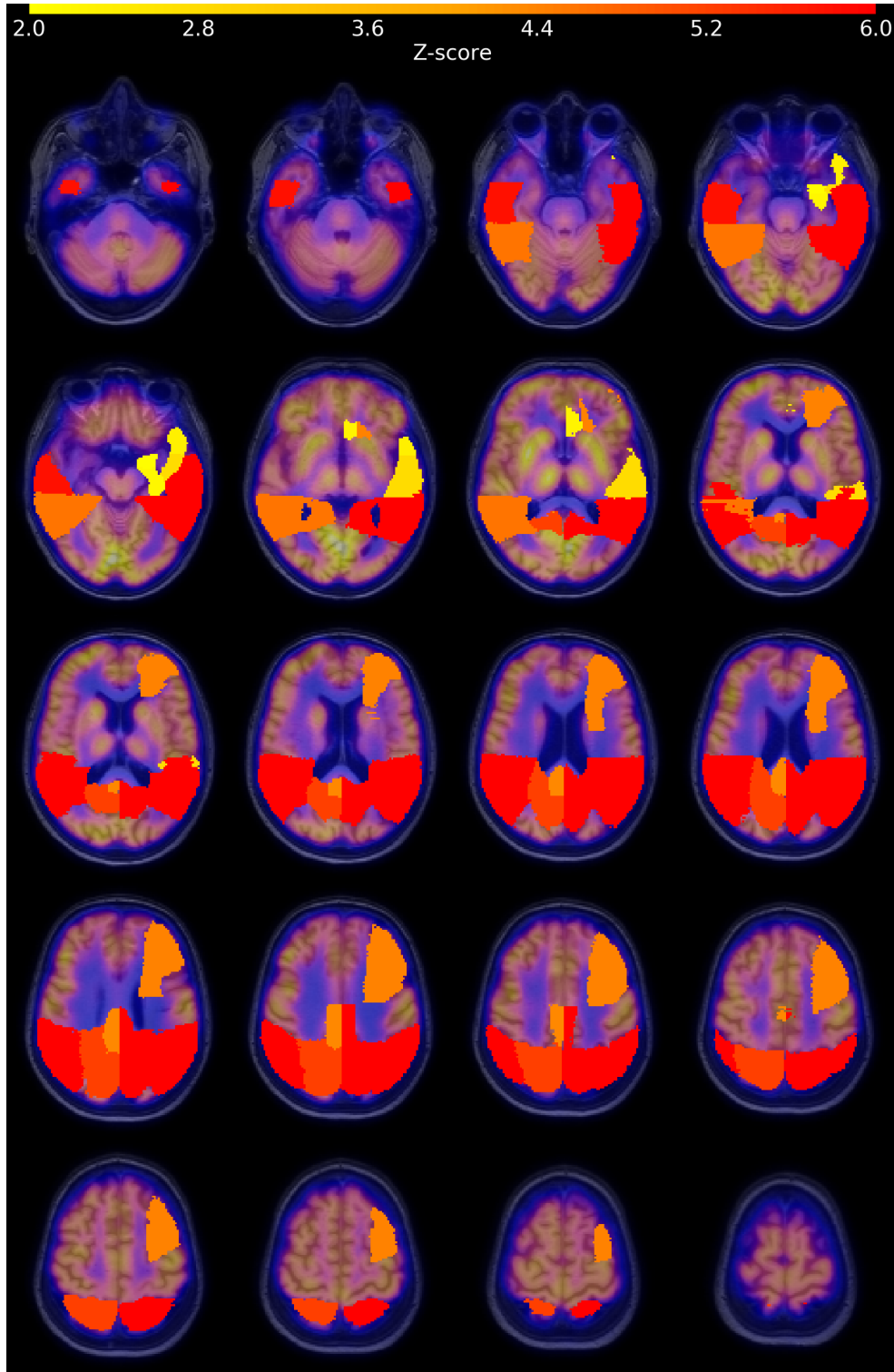


## Asimetrías (basado en ROIs) - coronal



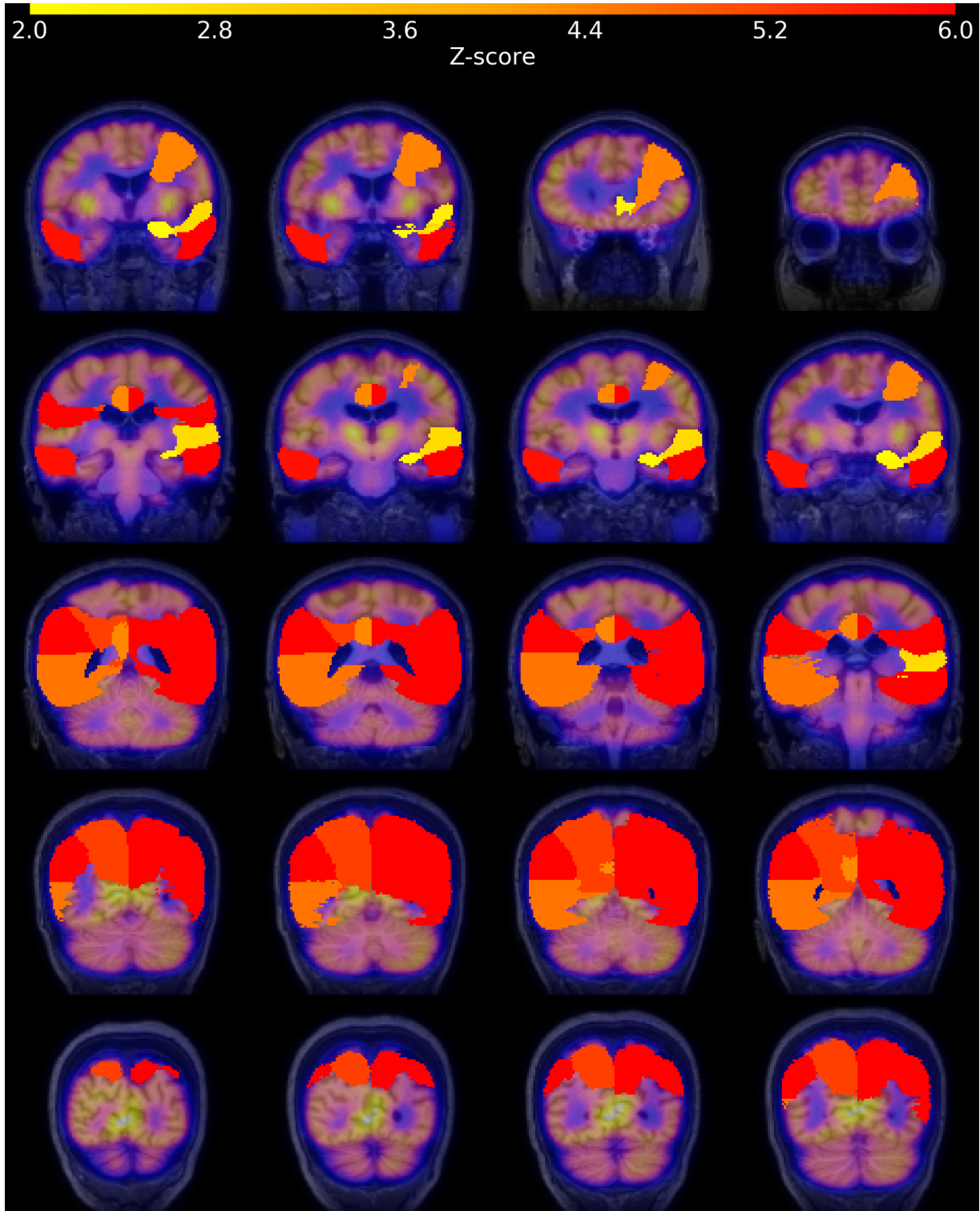


## Análisis por ROIs - axial





## Análisis por ROIs - coronal





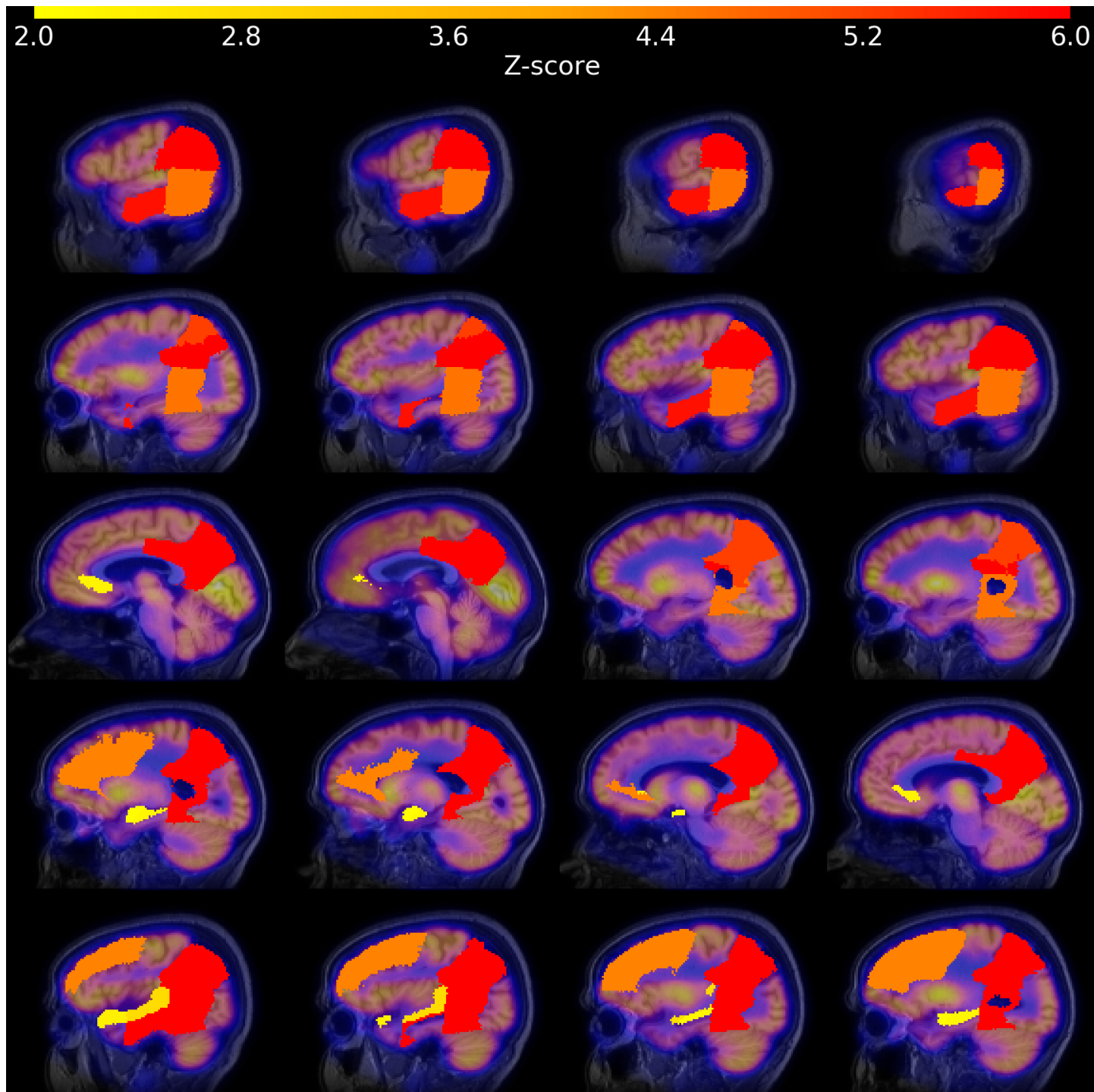


EANM 2019  
Qubiotech Conferences

# NEUROCLOND PET

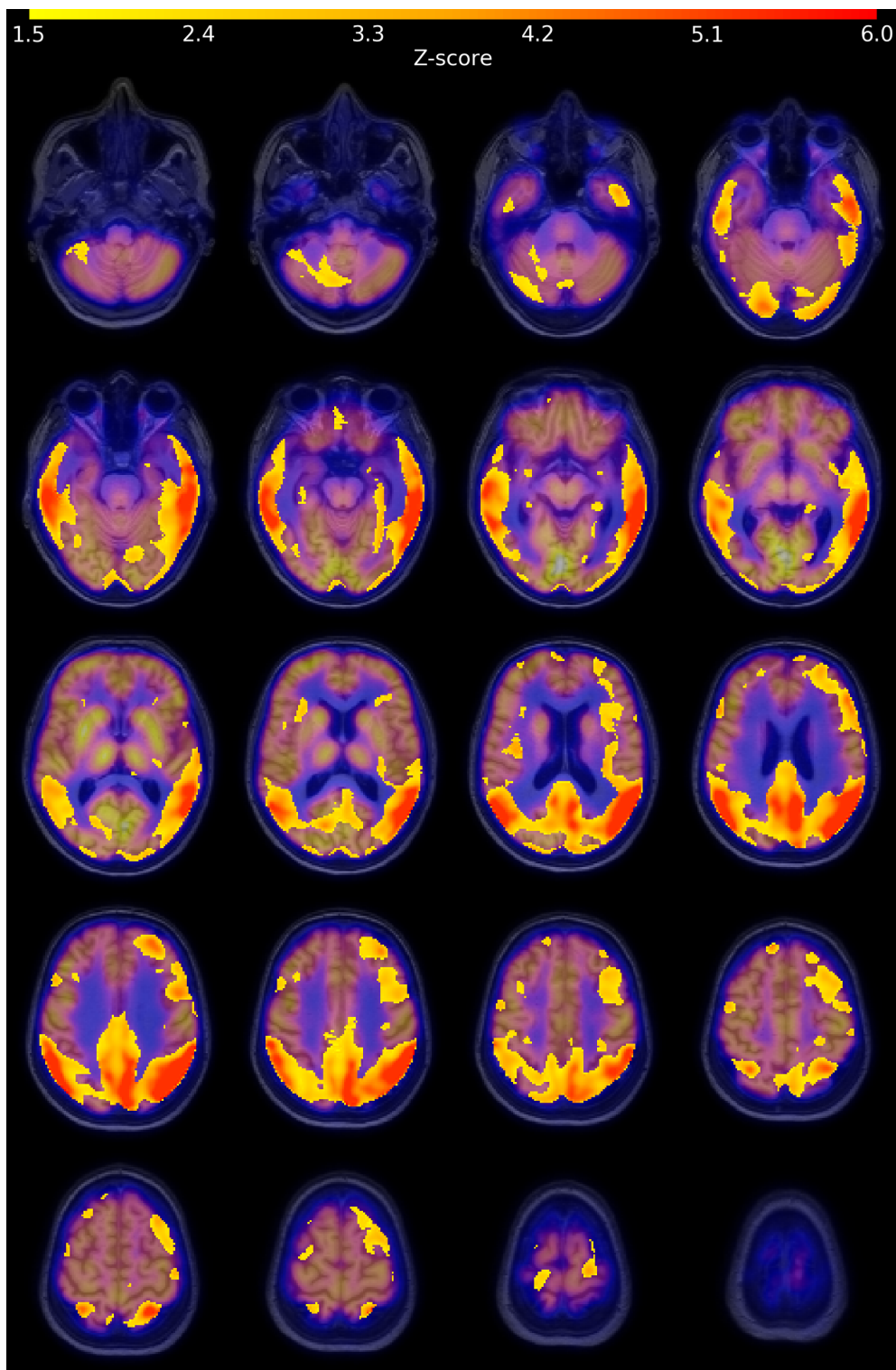
Paciente: PET/MR AD Example  
Edad: 78  
Id: 2558

## Análisis por ROIs - sagittal



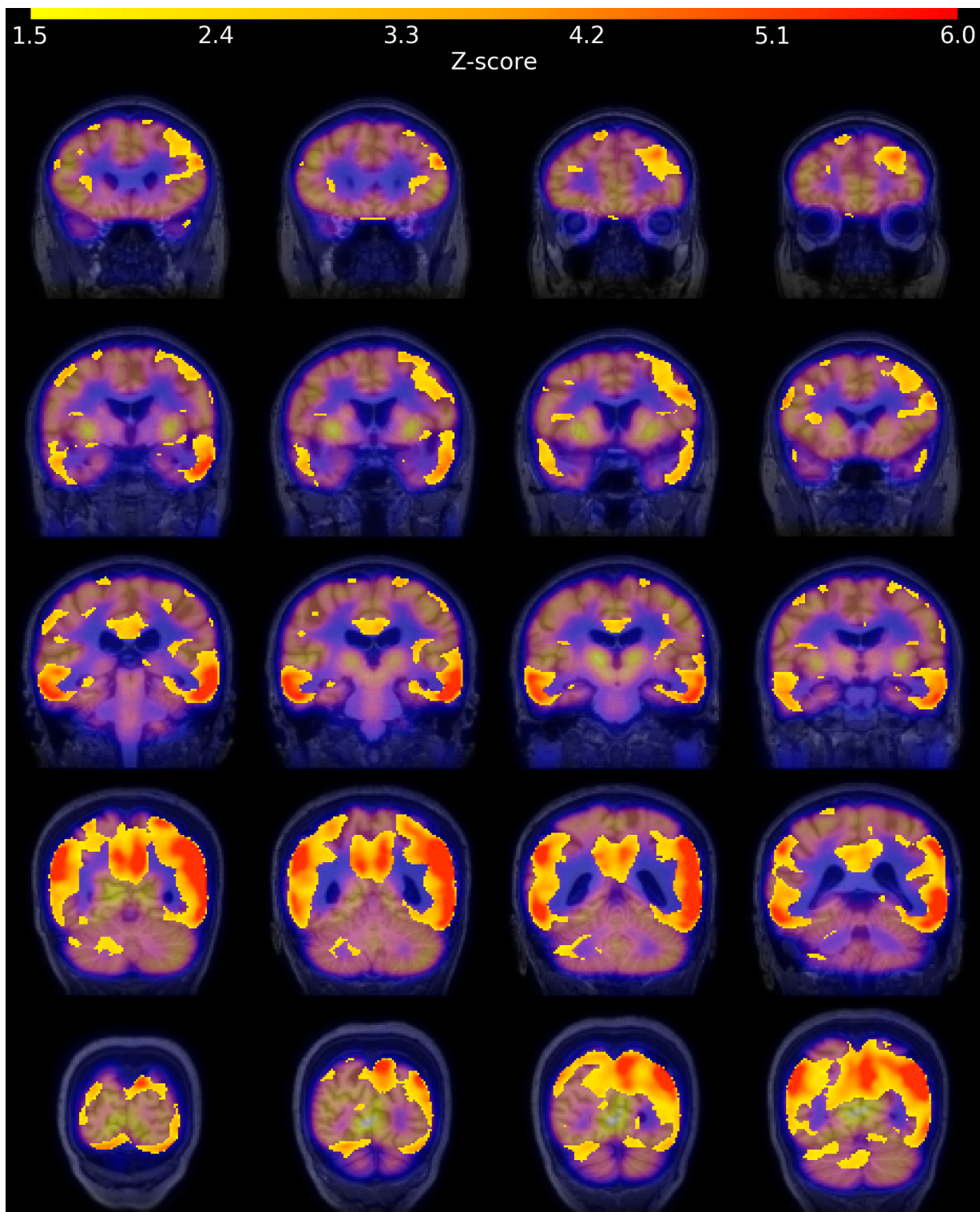


### Cuantificación voxel-a-voxel - axial





## Cuantificación voxel-a-voxel - coronal





### Cuantificación voxel-a-voxel - sagittal

